

^{130}Nd 和 ^{140}Tb 的 EC/ β^+ 衰变研究 *

于 涌 谢元祥 徐树威 李占奎 潘强岩

王春芳 邢建萍 张天梅

(中国科学院近代物理研究所 兰州 730000)

摘要 利用能量为 170MeV 左右的 ^{36}Ar 重离子束轰击 ^{96}Ru 和 ^{106}Cd 浓缩同位素靶, 分别生成缺中子同位素 ^{130}Nd 和 ^{140}Tb . 借助氦喷嘴带传输系统, 用 X- γ 和 γ - γ 符合方法, 分离鉴别了这两种核素, 并进一步测定了它们的衰变性质. 得到 ^{130}Nd 的半衰期为 $(13 \pm 3)\text{s}$, 首次建议了它的 EC/ β^+ 衰变纲图, 推测了其子核 ^{130}Pr 的基态和低位能级的自旋宇称. 修订了 ^{140}Tb 的原有极简单的 EC/ β^+ 衰变纲图并指认 ^{140}Tb 的基态自旋宇称为 7^+ .

关键词 EC/ β^+ 衰变 衰变纲图 氦喷嘴带传输系统 符合方法

1 引言

$A \approx 130$ 核区内的核素位于两个原子核大壳 50—82 之间, 是球形核到大形变核的过渡区. 因此, 位于此区域的核素一般具有复杂的核现象, 是国际核物理学者研究的热门核区. 此核区多数核的高自旋态在束研究已取得了许多进展, 相对而言, 缺中子核素的 EC/ β^+ 衰变研究较少, 许多核素的衰变纲图尚待建立. 所以, 通过对 $A \approx 130$ 核区核素的 β 衰变研究, 可以提供更丰富的子核低位能级和相关基态性质的信息, 有很重要的物理价值. 特别是由偶—偶核衰变所得到的奇—奇核的低位能级的讯息是无法用在束 γ 谱学代替的.

^{130}Nd 子核 ^{130}Pr 的在束研究已于 1997 年被 Petrache 等^[1] 报道过. 此前, 只有 Bogdanov 等^[2] 从 X 射线的研究指认了 ^{130}Nd 的半衰期为 $(28 \pm 3)\text{s}$. 至今, 未见有 ^{130}Nd 的 EC/ β^+ 衰变的有关报道. 有关 ^{140}Tb 的 EC/ β^+ 衰变已由 Firestone 等^[3] 开展过. 除测定到其衰变半衰期为 2.4s 外, 由于探测器分辨等原因, 他们只找到了属于 ^{140}Tb 的 EC/ β^+ 衰变的两条 γ 射线, 而推测应该存在于其子核 ^{140}Gd 的 $4^+ \rightarrow 2^+$ 态的 508.5keV γ 射线也未能观测到, 只标记成了虚线, 并初步指认 ^{140}Tb 的基态自旋宇称为 5^+ . 本实验的目的就在于要建立起 ^{130}Nd 和 ^{140}Tb 的 EC/ β^+ 衰变纲图.

2000-01-26 收稿

* 国家自然科学基金(19975057)和中国科学院重大项目以及国家重点基础研究发展计划(G2000077400)资助

2 实验

本实验是在兰州重离子加速器国家实验室完成的。由加速器 SFC 引出的能量在 220MeV 左右的 ^{36}Ar 重离子束，穿过 1.89mg/cm^2 厚的 Havar 膜入射窗，通过 4.9mg/cm^2 厚的 A1 降能片，轰击厚度为 1.5mg/cm^2 的 ^{96}Ru 浓缩同位素靶（富集度 97%），使能量分布在 161—176MeV 之间，经过融合蒸发 $2p$ 反应产生了缺中子同位素 ^{130}Nd ，然后用 X- γ 符合方法配合氮喷嘴带传输系统对反应产物进行分离鉴别：反应产物从薄靶中反冲出来，在充有约 $1.32 \times 10^5\text{Pa}$ 氮气的慢化室中被慢化，同时粘附在 PbCl_2 活性载体添加剂上形成大分子集团，在慢化室和真空收集室的压差作用下，经长 6m、内径 2mm 的毛细管被迅速传输到真空收集室，喷射并沉积到收集带上（等待时间 0.1s），再由带传输系统周期性地将活性核素传送到低本底的探测区进行 X- γ ， γ - γ 符合测量或 γ 单谱测量（拉带时间约 0.3s，测量时间 2s）。在生成缺中子同位素 ^{140}Tb 时，使用的是 2.5mg/cm^2 厚的 ^{106}Cd 浓缩同位素靶（富集度 75%），经过融合蒸发 $p\pi$ 反应生成 ^{140}Tb ，其它实验条件与 ^{130}Nd 相同。探测器放置在屏蔽好的低本底测量区。用两台同轴型 GMX 高纯锗探测器测量 γ 射线（相对效率分别为 25% 和 30%），一台平面型 GLP 高纯锗探测器作 X 测量。用微机进行数据获取，把 X- γ -t, γ - γ -t 事件谱记录下来，以便离线分析。

3 结果与讨论

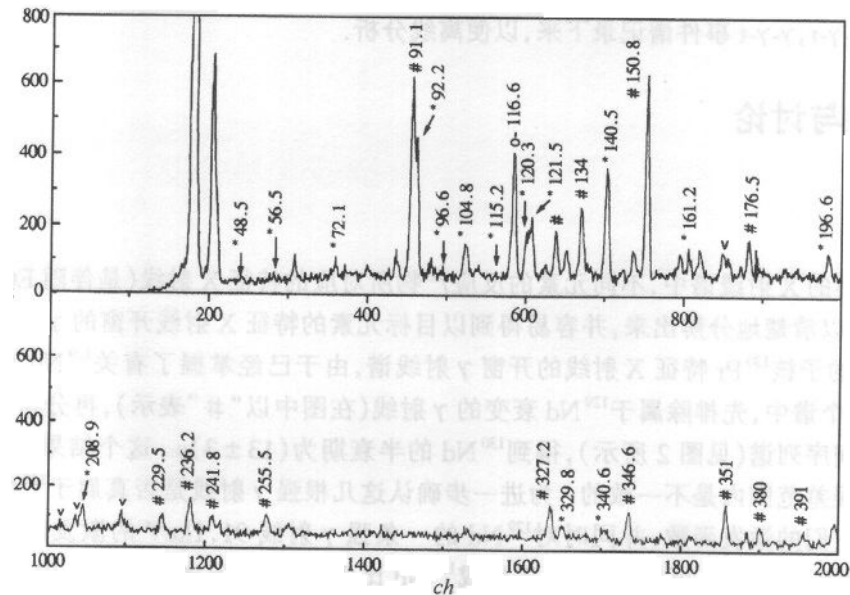
3.1 ^{130}Nd

在测得的 X 射线谱中，不同元素的反应产物所对应的特征 X 射线（是伴随 EC 衰变而发射的）可以清楚地分辨出来，并容易得到以目标元素的特征 X 射线开窗的 γ 射线谱。图 1 是 ^{130}Nd 的子核 ^{130}Pr 特征 X 射线的开窗 γ 射线谱，由于已经掌握了有关 ^{129}Nd 衰变的资料^[4]，在这个谱中，先排除属于 ^{129}Nd 衰变的 γ 射线（在图中以“#”表示），再分析其它强 γ 射线的时间序列谱（见图 2 所示），得到 ^{130}Nd 的半衰期为 $(13 \pm 3)\text{s}$ 。这个结果与文献[2]的报道在误差范围内是不一致的。为进一步确认这几根强 γ 射线是否真属于 ^{130}Nd 衰变，我们做了它们的激发函数，并同时对 ^{129}Nd 的一条强 γ 射线 91.1keV 的激发函数做比照（见图 3 所示）。从图 3 可以看出，由于生成 ^{129}Nd 比生成 ^{130}Nd 要多蒸发一个中子，所以相对生成截面在一定范围内应随激发能增加而增大，而 ^{130}Nd 应与之相反，从而确认 92.2, 120.3, 121.5, 140.5keV 是属于 ^{130}Nd 衰变的强 γ 射线。由这些强 γ 射线开窗的 γ - γ 符合谱可以找到其它弱 γ 射线。确定这些射线的相对强度可以从测得的 γ 单谱得出，有些情况下由 γ - γ 符合谱估计出来。测得的 ^{130}Nd 衰变 γ 射线的相对强度及其符合关系在表 1 中列出。由表 1 与能量和关系，我们建立了 ^{130}Nd 的 EC/ β^+ 衰变纲图（如图 4 所示，图中的 Q_{EC} 取自文献[5]）。对图中 ^{130}Pr 的基态和低位态的自旋宇称进行了如下推测： ^{130}Nd 是偶-偶核，其自旋宇称为 0^+ 。前人的实验表明， ^{131}Pr 的基态自旋宇称为 $3/2^+$ ^[6]； ^{129}Ce 的基态自旋宇称为 $5/2^+$ ，并且有两个能量很低的激发态，其自旋宇称分别为 $1/2^+$ 和 $3/2^+$ ^[7]。

表1 ^{130}Nd EC/ β^+ 衰变的 γ 射线的能量和强度以及符合关系

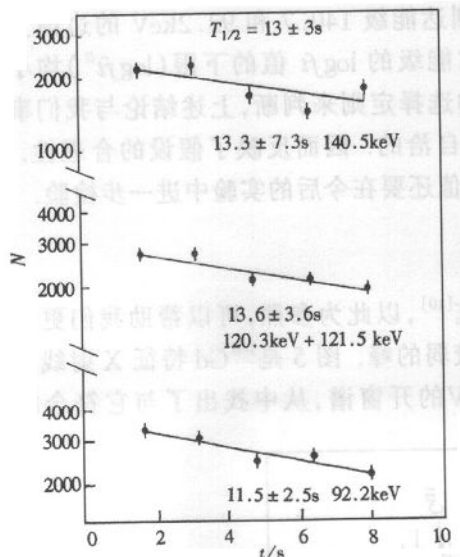
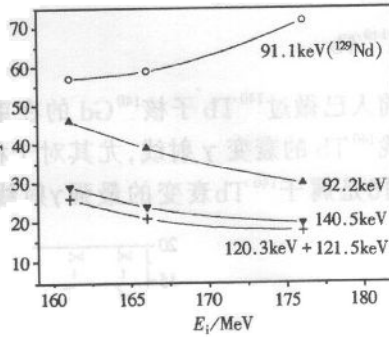
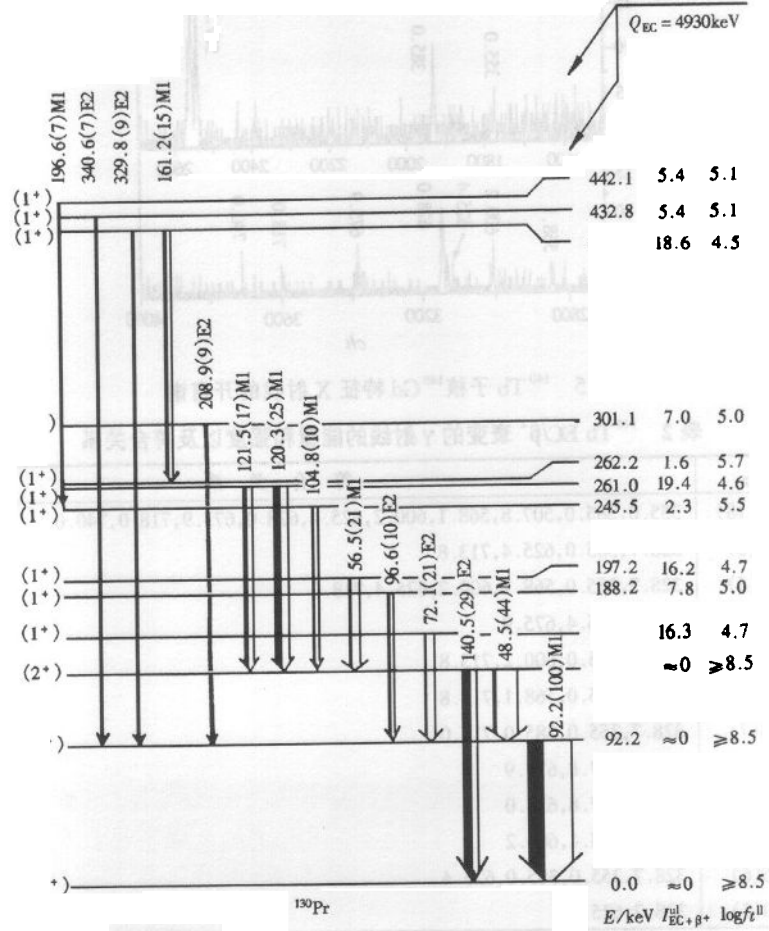
E_γ/keV^+	I_γ	符合关系
48.5	10(2)	56.5, 92.2, 104.8, 120.3, 121.5, 161.2
56.5	7(2)	48.5, 92.2, 140.5
72.1	7(2)	92.2
92.2	100*	48.5, 56.5, 72.1, 96.6, 104.8, 115.2, 120.3, 121.5, 161.2, 196.6, 208.9, 329.8, 340.6
96.6	9(2)	92.2
104.8	12(2)	48.5, 92.2, 140.5, 196.6
120.3	39(4)*	48.5, 92.2, 140.5
121.5	27(3)*	48.5, 92.2, 140.5, 161.2
140.5	47(5)*	56.5, 104.8, 120.3, 121.5, 161.2
161.2	31(3)	48.5, 92.2, 140.5, 121.5
196.6	16(2)	48.5, 92.2, 104.8, 140.5
208.9	21(2)*	92.2
329.8	23(2)*	92.2
340.6	19(2)	92.2

* 能量误差为 $\pm 0.2\text{keV}$; *号表示的射线强度根据 γ 单谱决定,其余的由 γ - γ 符合谱估计出来.

图1 ^{130}Nd 子核 ^{130}Pr 特征 X 射线的开窗谱

* ^{130}Nd , # ^{129}Nd , V Pr.

所以,我们假定 ^{130}Pr 的基态自旋宇称为 4^+ ,而且具有两个低激发态,自旋宇称分别为 2^+ 和 3^+ ,它们的能量分别为 140.7 和 92.2keV . 因为 β 允许跃迁最容易被观测到,由偶-偶核 0^+ 基态经过允许跃迁应填充到子核的 1^+ 态,对观测到的 ^{130}Pr 的其它的能级不妨先假设为 1^+ 态. 在此基础上得到假设的 γ 退激的跃迁类型,进行内转换系数的修正^[8],再用修正后的相对强度计算出 $\log ft$ 值. 图4中标记的 γ 跃迁的相对强度就是经过内转换修

图2 属于 ^{130}Nd 衰变的几根 γ 射线的时间序列谱图3 ^{130}Nd 和 ^{129}Nd 激发函数的比较图4 ^{130}Nd 的 BC/ β^+ 衰变纲图

正后再重新归一得到的。由图4可以看出,到达能级140.7和92.2keV的边带上限(I^{α})接近于零,其 β 跃迁应属于禁戒跃迁;其它能级的 $\log ft$ 值的下限($\log ft^L$)均小于5.9,其 β 跃迁很可能是允许跃迁^[9]。用 β 跃迁的选择定则来判断,上述结论与我们事先对观测到的¹³⁰Pr低位能级的自旋宇称的假设是自洽的。因而反映了假设的合理性。当然,这样推测得到的¹³⁰Pr的低位能级的自旋宇称值还要在今后的实验中进一步检验。

3.2 ¹⁴⁰Tb

前人已做过¹⁴⁰Tb子核¹⁴⁰Gd的在束 γ 谱研究^[10],以此为参照,可以帮助我们更准确地查找¹⁴⁰Tb的衰变 γ 射线,尤其对于相对强度较弱的峰。图5是¹⁴⁰Gd特征X射线开窗谱。图6是属于¹⁴⁰Tb衰变的最强 γ 射线328.8keV的开窗谱,从中找出了与它符合的10

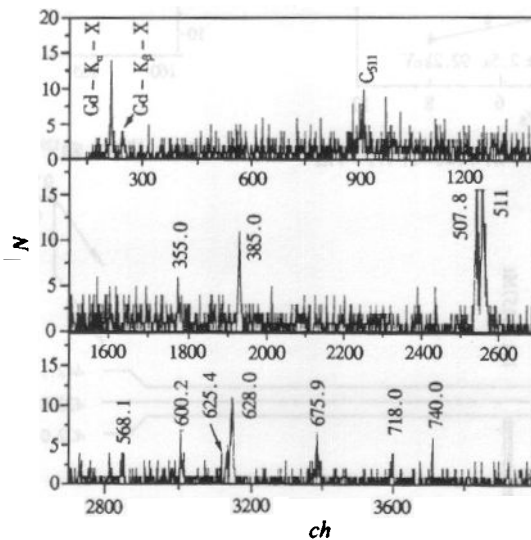
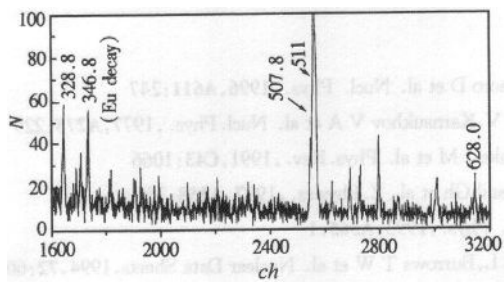
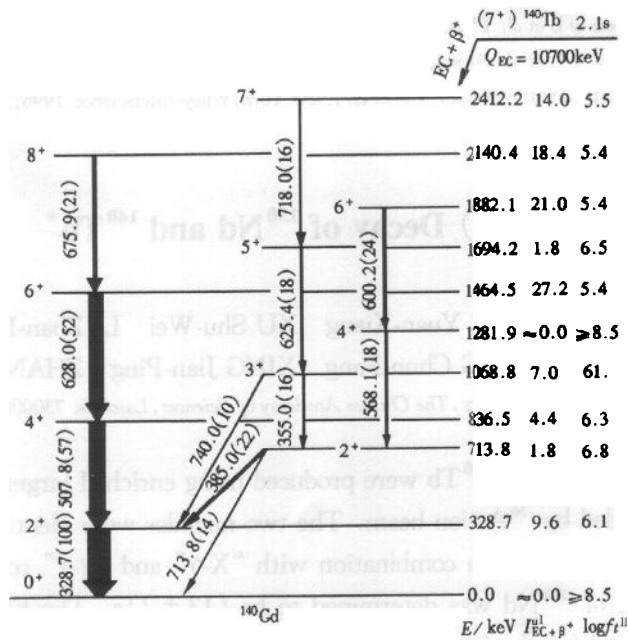


图5 ¹⁴⁰Tb子核¹⁴⁰Gd特征X射线的开窗谱

表2 ¹⁴⁰Tb EC/ β^+ 衰变的 γ 射线的能量和强度以及符·

E_γ/keV^+	I_γ	符 合 关 系
328.7	100(18)	355.0, 385.0, 507.8, 568.1, 600.2, 625.4, 628.0, 675.9, 718.0, 740.0
355.0	16(6)	328.7, 385.0, 625.4, 713.8
385.0	22(5)	328.7, 355.0, 568.1, 600.2, 625.4, 718.0
507.8	57(13)	328.7, 625.4, 675.9
568.1	18(7)	328.7, 385.0, 600.2, 713.8
600.2	24(10)	328.7, 385.0, 568.1, 713.8
625.4	18(7)	328.7, 355.0, 385.0, 718.0
628.0	52(9)	328.7, 507.8, 675.9
675.9	21(6)	328.7, 507.8, 628.0
713.8	14(4)	355.0, 568.1, 600.2
718.0	16(6)	328.7, 355.0, 385.0, 625.4
740.0	10(3)	328.7, 625.4

+ 能量误差为±0.2keV。

图 6 属于 ^{140}Tb 衰变的最强 γ 射线 328.8keV 的开窗谱图 7 ^{140}Tb 的 EC/ β^+ 衰变纲图

根据 γ 射线, 其中强 γ 射线所确定的半衰期为 $(2.1 \pm 0.4)\text{s}$, 与文献[3]的结果相符。另外, 参照文献[3]中给出的 328.8, 628.0keV γ 射线的相对强度, 从 γ - γ 符合谱中估计出其它 γ 射线的相对强度。各射线的相对强度和符合关系列在表 2 中给出。由此我们进一步得到了新的 ^{140}Tb 的 EC/ β^+ 衰变纲图(见图 7, 图中的 Q_{EC} 值取自文献[5])。我们参照了 Paul 等人^[10]有关 ^{140}Tb 子核 ^{140}Gd 的束谱学的测量结果, 并对纲图中子核 ^{140}Gd 的各能级的自旋宇称进行了指认。由于馈送到 $6^+, 7^+, 8^+$ 能级的 $\log ft$ 的下限值均小于 5.9, 很可能属于允许跃迁, 而到其它能级的 $\log ft$ 的下限值均大于 6.0, 很可能属于禁戒跃迁。根据 β 跃迁选择定则指认出 ^{140}Tb 基态的自旋宇称为 7^+ , 而不是文献[3]中所给出的 5^+ 。这一结果也是与理论预言值^[11]符合的, 它是由 $\pi 5/2^-$ 和 $\nu 9/2^-$ 组成的。 ^{140}Tb 的基态形变参数 $\epsilon_2 = 0.208$ 。

参考文献(References)

- 1 Petrache C M, Brant S, Barracco D et al. Nucl. Phys., 1996, **A611**:247
- 2 Bogdanov P D, Demyanov A V, Kurnaukhov V A et al. Nucl. Phys., 1977, **A275**:229
- 3 Firestone R B, Gilat J, Nitschke J M et al. Phys. Rev., 1991, **C43**:1066
- 4 Gizon A, Genevery J, Cata-Danil Gh et al. Z. Physics., 1997, **A358**:369
- 5 Audi G, Wapstra A H. Nucl. Phys., 1993, **A565**:1
- 6 Sergeev Yu V, Khazov Yu L, Burrows T W et al. Nuclear Data Sheets, 1994, **72**:604
- 7 Tendow Y. Nuclear Data Sheets, 1996, **77**:752
- 8 Rosel F, Fries H M, Alder K et al. At Data Nucl. Data Tables, 1978, **21**:91
- 9 Raman S, Gove N B. Phys. Rev., 1973, **C7**:1995
- 10 Paul E S, Ahn K, Fossan D B et al. Phys. Rev., 1989, **C39**:153
- 11 Möller P, Nix J R, Kartz K-L et al. Atomic Data and Nuclear Data Tables, 1997, **66**:131; Firestone R B. In Table of Isotopes, 8th ed., Vol. II, edited by Shirley V S et al., New York, Wiley-Interscience, 1996, Appendices H, p-H7

(EC/ β^+) Decay of ^{130}Nd and $^{140}\text{Tb}^*$

YU Yong XIE Yuan-Xiang XU Shu-Wei LI Zhan-Kui
 PAN Qiang-Yan WANG Chun-Fang XING Jian-Ping ZHANG Tian-Mei
(Institute of Modern Physics, The Chinese Academy of Sciences, Lanzhou 730000, China)

Abstract Isotopes ^{130}Nd and ^{140}Tb were produced using enriched targets ^{96}Ru and ^{106}Cd , respectively, bombarded by ^{36}Ar ion beam. The two nuclides were identified and studied by a He-jet tape transport system in combination with “X- γ ” and “ γ - γ ” coincidence measurements. The half-life of ^{130}Nd was determined to be $(13 \pm 2)\text{s}$. The EC/ β^+ decay scheme of ^{130}Nd was proposed for the first time, and the spins and parities of the ground-state and observed low-lying states in the daughter nucleus ^{130}Pr were speculated tentatively. The previous simple EC/ β^+ decay scheme of ^{140}Tb was revised, and the spin-parity of its ground-state was assigned to be 7^+ .

Key words EC/ β^+ decay, decay scheme, He-jet tape transport system, coincidence measurement

Received 26 January 2000

* Supported by National Nature Science Foundation (19975057), Major Subject of The Chinese Academy of Sciences and Major State Basic Research Development Program(G2000077400)